

## بناء نموذج (ARIMA) للتنبؤ بحجم البطالة في مصر

مؤيد سلطان وهيب/ كلية الادارة والاقتصاد /جامعة تكريت

### المستخلص

يهدف البحث إلى بناء نموذج (ARIMA) لمشكلة البطالة في مصر من خلال البيانات الإحصائية المتوفرة على الشبكة العنكبوتية للفترة من ١٩٩٠ لغاية ٢٠١٠ والتنبؤ المستقبلي بحجم البطالة من خلال النموذج المتباين به . حيث يقدر حجم البطالة عام ٢٠١٧ بـ ٩.٧٣٥ مليون عاطل.

### **The use of statistical forecasting using( ARIMA) model to estimate the Unemployment in Egypt**

#### **Abstract**

This research aims to estimate the (ARIMA) model of the problem of unemployment in Egypt by using statistical data which is available on the internet for the period from 1990 to 2010 and future forecasting about unemployment which is determined about 9.7350 million in 2017.

### المقدمة

أشر شر يهدى الإنسانية هو وجود عامل عاطل ، وهو في أشد الحاجة إلى العمل و قادر عليه ، حتى يستطيع الإنفاق على مطالب الحياة ويساهم في عمارة الأرض ، وعبادة الله وحماية نفسه من صور الفساد الأخلاقي والاجتماعي والسياسي .

وتنشأ مشكلة البطالة عندما لا يلتزم الإنسان بالفطرة السجية التي خلقه الله عليها ، أو أنه يسيء استخدام ما سخره الله له من نعم ، أو ينحرف عن الرشد في استغلال الموارد البشرية والطبيعية ، فالإنسان هو سبب هذه المشكلة، ولن تحل هذه المشكلة إلا من خلال الإنسان الرشيد الذي يطبق أحكام ومبادئ الشريعة الإسلامية .

ومن مخاطر مشكلة البطالة أنها تحطم الجوانب المعنوية والنفسية للإنسان ، وتسبب ارتباكاً وخللاً في الأسرة ، كما أن لها العديد من الآثار السياسية السيئة حيث تسبب خطراً على استقرار الحكم .

وتأسيساً على ما سبق فإن التصدي لها يعتبر من الضروريات الشرعية والواجبات الدينية ، والمسؤولية الوطنية ، وهي قضية ولـى الأمر والمجتمع بأسره ، سواء بسواء ( ٥ )  
يعتبر تحليل السلسل الزمنية من الأساليب الإحصائية الهامة التي تستخدم في التنبؤ بقيم الظواهر  
العشوانية في المستقبل حيث أصبح الزمن كعامل أساسى يؤثر على جملة التحولات والتبدلات التي  
تطرأ على الظواهر  
**مشكلة البحث :**

تكمـن مشكلـة البحث في إيجـاد أسلوب إحـصائي دقيق ومتـميز يمكن من خـلاله وبـواسـطـته مـعرفـة  
سلوك ظـاهـرة البطـالـة في مصر من اـجل الوـصـول إلى نـتـائـج يـمـكـن الاستـشـادـ بهاـ في وضعـ السـيـاسـةـ .  
الـاـقـتـصـاديـ .

### **هدف البحث**

يـهدـفـ الـبـحـثـ بـالـدـرـجـةـ الـأـسـاسـ إـلـىـ استـخـدـامـ أـسـلـوبـ السـلـسـلـةـ الزـمـنـيـةـ منـ اـجلـ تمـثـيلـ البطـالـةـ فـيـ  
مـصـرـ وـتـقـدـيرـ نـمـوذـجـ يـمـثـلـ الـظـاهـرةـ الـاـقـتـصـاديـ المـهمـةـ بـهـدـفـ الـاستـفـادـةـ مـنـهـ فـيـ الـدـرـاسـةـ الـاـقـتـصـاديـ .  
**منهجية الدراسة :**

يـسـتـخـدـمـ الـبـحـثـ الـمـنهـجـ التـحـلـيليـ الـوـصـفيـ وـالـإـحـصـائـيـ مـنـ خـلالـ جـمـعـ الـبـيـانـاتـ الـإـحـصـائـيـ لـهـذـهـ  
الـظـاهـرةـ وـكـذـلـكـ تـطـبـيقـ نـمـوذـجـ السـلـسـلـةـ الزـمـنـيـةـ .  
**هيـكلـيـةـ الـبـحـثـ :**

تم تقسيـمـ الـبـحـثـ إـلـىـ ثـلـاثـةـ مـحاـوـرـ رـئـيـسـيـةـ :  
الـمحـورـ الـأـوـلـ : المـقـدـمةـ وـنـبـذـةـ تـارـيـخـيـةـ عـنـ الـبـطـالـةـ فـيـ مـصـرـ  
الـمحـورـ الثـانـيـ : الـجـانـبـ النـظـريـ لـلـسـلـسـلـةـ الزـمـنـيـةـ .  
الـمحـورـ الثـالـثـ : الـجـانـبـ التـطـبـيقـيـ لـلـسـلـسـلـةـ الزـمـنـيـةـ .  
**مـفـهـومـ الـبـطـالـةـ، أوـ نـقـصـ التـشـغـيلـ**

الـبـطـالـةـ ، بـوـجـهـ عـامـ، هيـ تعـبـيرـ عـنـ قـصـورـ فـيـ تـحـقـيقـ الغـايـاتـ مـنـ الـعـمـلـ فـيـ الـمـجـمـعـاتـ  
الـبـشـرـيـةـ، وـحيـثـ الغـايـاتـ مـنـ الـعـمـلـ مـتـعـدـدـةـ، تـتـعـدـدـ مـفـاهـيمـ الـبـطـالـةـ فـيـقـضـدـ بـالـبـطـالـةـ وـجـودـ أـفـرـادـ قـادـرـينـ  
عـلـىـ الـعـمـلـ وـرـاغـبـينـ فـيـهـ، وـلـكـنـهـ لـاـ يـجـدـونـ عـمـلاـ. يـمـتـدـ إـلـىـ الـحـالـاتـ الـتـيـ يـمـارـسـ فـيـهـ فـردـ عـمـلاـ وـلـكـنـ  
لـوقـتـ أـقـلـ مـنـ وـقـتـ الـعـمـلـ الـمـعـتـادـ، أوـ الـمـرـغـوبـ. وـتـسـمـيـ هـذـهـ الـظـاهـرةـ الـبـطـالـةـ الـجـزـئـيـةـ الـظـاهـرـةـ أوـ نـقـصـ  
الـتـشـغـيلـ الـظـاهـرـ .

ويحدث في بعض المجتمعات أن يعاني بعض من أفرادها، في الوقت نفسه، من زيادة في التشغيل، بمعنى عملهم وقتاً أطول من معيار معتمد لكي يتمكنوا من الوفاء باحتياجاتهم، وهو وجه آخر من أوجه اختلال التشغيل في المجتمع.

ذلك يمكن أن يعاني الأشخاص المستغلون، ولو كل الوقت المعتمد، من نقص التشغيل المستتر أو البطالة المقنعة، عندما تكون إنتاجيتهم، أو كسبهم، أو استغلال مهاراتهم وقدراتهم، متدنية حسب معيار ما، وهذه أثبتت أنواع البطالة، خاصة في المجتمعات النامية. حيث نقص التشغيل المستتر هو الوجه الآخر لتدني الإنتاجية الاجتماعية للعمل المبذول؛ أو لقصور الدخل من العمل عن الوفاء بالاحتياجات الأساسية، ومن ثم انخفاض مستوى الرفاهة الاجتماعي الكلى، أي الإفقار؛ أو لإهار الطاقات البشرية والاستثمار في التعليم نتيجة لقلة التوافق بين نظم التعليم واحتياجات سوق العمل؛ أو لتحمل شروط عمل غير آدمية مثل وقت عمل بالغ الطول أو بيئة عمل مضرة؛ وكلها قسمات جوهيرية للتخلف. ومن المؤسف، أن نقص التشغيل المستتر لا يلقى العناية الواجبة في مناقشة البطالة. وبعود هذا، أساساً، إلى الصعوبات الكبيرة التي تحيط بهذه الظاهرة، في الفهم والقياس والتشخيص والعلاج ( ٦ )

#### البطالة في مصر.

يمكنا تتبع تطور حجم مشكلة البطالة في مصر من خلال بيانات الجهاز المركزي للتعبئة العامة والإحصاء حول تقدير حجم البطالة حيث نجد أنه في عام ١٩٦٠ كان معدل البطالة ٢٠.٥ % من إجمالي حجم القوى العاملة، وفي تعداد ١٩٧٦ يقف الرقم إلى ٧٠.٧ % ثم إلى ١٤.٧ % من تعداد ١٩٨٦، ولكنه وصل في ١٩٩٦ ( ٨٠.٨ % ) .

أما بالنسبة لرقم ومعدل البطالة الحقيقة في الوقت الراهن فهناك اختلاف فيها، في بيانات الحكومة متمثلة في الجهاز المركزي للتعبئة والإحصاء تشير إلى أن عدد العاطلين في مصر قد بلغ نحو ١٧٨ مليون عاطل في بداية عام ٢٠٠٢ بما يعني أن معدل البطالة قد بلغ نحو ٩.١ % وبال مقابل تشير بيانات البنك المركزي المصري في نشرته الإحصائية الشهرية الصادرة في أبريل ٢٠٠٢، إلى أن عدد العاطلين في مصر ثابت عند ١٠.٥ مليون عاطل من العام المالي ٩٧/٦٩ وحتى العام المالي ٢٠٠١/٢٠٠٠ حيث بلغ ٧٠.٦ % من إجمالي قوة العمل البالغ نحو ١٩٠.٥ مليون نسمة.

وهذه البيانات بدورها تختلف عن البيانات التي أوردها صندوق النقد الدولي في تقريره لعام ٢٠٠١، ولكنها جاءت معتمدة على بيانات عام ١٩٩٥، وهو العام الذي تتوقف عنده بيانات صندوق النقد الدولي لعدم وجود بيانات يمكن للصندوق أن يأخذ بها للأعوام التالية لعام ١٩٩٥.

أن حجم البطالة الحقيقي لا يقل بأي حال من الأحوال عن ١٧ % : ٢٠ % من حجم قوة العمل ومما تفاقم من خطورة هذا المعدل المرتفع لنسبة البطالة إلى قوة العمل ما تتسم به كثرة العاطلين في مصر من سمات خاصة هي :

١. أن الشطر الأعظم من كثرة البطالة يتمثل في بطالة الشباب الذين يدخلون سوق العمل لأول مرة في عام ١٩٩٢ كان عدد العاطلين من الشباب ممن تتراوح أعمارهم بين ١٥، ٤٠ عاماً قد بلغ نحو ١٠.٤٧ مليون عاطل بما شكل نحو ٩٩ % من عدد العاطلين كما تركزت البطالة في الفئة الأكثر شباباً ممن تتراوح أعمارهم بين ١٥، و ٣٠ عاماً، حيث بلغ عدد العاطلين منهم عام ٩٩ نحو ١٠.٣١ مليون عاطل بما شكل نحو ٨٨ % من عدد العاطلين في ذلك العام.

٢. أن البطالة في مصر هي بطالة متعلمة فالغالبية العظمى من العاطلين من خريجي الجامعات ومدارس ثانوية، ويلاحظ أن نسبة المتعلمين في كثرة المتعطلين أخذة في الارتفاع وهو ما يعني إهدار طاقات وموارد استثمارها في العملية التعليمية دون أن ينتج عنها عائد، يتمثل في تشغيل هذه الطاقة البشرية لتصبح منتجة.

فقد كانت تشكل نحو ٧٦ % من جملة العاطلين عام ١٩٨٦ أما في عام ٢٠٠١ فإنه وفقاً للبيانات المستخدمة من بيانات اللجنة العليا للتشغيل فإن العدد الإجمالي للعاطلين بلغ ٣٠.٤٣٨ مليون عاطل منهم نحو ٣ ملايين متعلم مما يعني أن المتعلمين يشكلون نحو ٨٧.٣ من عدد المتعطلين.

٣. ارتفاع نسبة البطالة بين النساء ففي عام ١٩٨٨ كانت نسبة البطالة بين النساء في الحضر ٢٢.١ % مقابل ٨٠.٤ % بالنسبة للبطالة بين الرجال أما في الريف فكانت النسبة أكبر من ذلك حيث بلغت ٢٦.٣ % بينما سجلت معدلات البطالة في صنوف الرجال في الريف انخفاضاً عن مثيله في الحضر، فقد بلغ نحو ٦.٦ %، أما إذا عدنا للبيانات التي أعلنتها اللجنة العليا للتوظيف في المذكرة آنفاً فإننا سوف نجد أن هناك ٦٦ ألف امرأة متعلمة و ٤. اتجاه معدلات البطالة للارتفاع في الحضر بعد أن كانت في فترات سابقة ترتفع بنسبة أكبر في الريف، حيث تشير بيانات تقرير التنمية البشرية ١٩٩٥ إلى أن معدلات البطالة في الحضر كانت ١٢.٥ % مقابل ٩.٢ % في الريف،(٤).

**الفصل الثاني:**

**الجانب النظري :**

بعد موضوع تحليل السلسلة الزمنية من المواضيع الإحصائية المهمة التي تتناول سلوك السلسلة أو الظاهرة وتفسيرها عبر فترة محددة من الزمن وتحديد التغيرات التي تطرى على السلسلة خلال الزمن ووضع الخطط الأزمة لذلك ،وبناء نموذج لتفسي ر الظاهرة واستخدام النتائج للتتبؤ بسلوكها في المستقبل ، فضلا عن التحكم في العملية التي تتولد منها السلسلة الزمنية بفحص ما يمكن حدوثه عند تغير بعض معلمات النموذج ، ولتحقيق ذلك يتطلب الأمر دراسة تحليلية وافية لنماذج السلسلة الزمنية.

### **الخطوات المتخذة لبناء نموذج تتبؤ:**

إن إيجاد نموذج مناسب تطبق عليه متسلسلة زمنية مشاهدة يعتبر من المهام الصعبة والتي تحتاج إلى الكثير من البحث والخبرة . سوف نستعرض بعض الخطوات العريضة لبناء نموذج رياضي للتتبؤ عن متسلسلة زمنية ما:

١-تعيين النموذج أو تحديد النموذج **Model Identification**: وهذا يتم برسم المتسلسلة الزمنية فيما يسمى **Time Plot** حيث يكون الإحداثي الأفقي هو الزمن والرأسي حجم الظاهرة المشاهدة ومن ثم اختيار نموذج رياضي معتمدين على بعض المقاييس الإحصائية التي تميز نموذج عن آخر وعلى الخبرة المستمدة من الدراسات والأبحاث.

٢-تطبيق النموذج **Model Fitting**: بعد ترشيح نموذج أو أكثر كنموذج مناسب لوصف المتسلسلة المشاهدة نقوم بتقدير معالم هذا النموذج من البيانات المشاهدة باستخدام طرق التقدير الإحصائي الخاصة بالمتسلسلات الزمنية وهذا النموذج المرشح يؤخذ كنموذج أولي قابل للتعديل لاحقا.

٣-تشخيص واختبار النموذج **Model Diagnostics**: إجراء اختبارات تفاصيله على أخطاء التطبيق **Fitting Errors** لمعرفة مدى تطابق المشاهدات مع القيم المحسوبة من النموذج المرشح ومدى صحة فرضيات النموذج . في حالة احتياز النموذج المرشح لهذه الاختبارات نقوم بإعتماده على انه النموذج النهائي ويستخدم لتوليد تنبؤات لقيم المستقبلية وإلا نعود للخطوة الأولى لتعيين نموذج جديد.

٤-توليد التنبؤات **Forecast Generation**: يستخدم النموذج النهائي لتوليد تنبؤات عن القيم المستقبلية ومن ثم حساب أخطاء التنبؤ **Forecast Errors** كلما استجدة قيم جديدة مشاهدة من المتسلسلة الزمنية ومراقبة هذه الأخطاء في ما يسمى بمخططات المراقبة **Control Charts** والتي

توضع للقبول بنسبة خطأ معين إذا تجاوزته أخطاء التنبؤ يعاد النظر في النموذج وتعاد الدورة من جديد بتحديد نموذج مرشح آخر. (٧)

٥-استخدام التنبؤات ووضع القرارات Implementation and Decision making : تقدم التنبؤات في تقرير لصانعي القرار للنظر في استخدامها بالشكل المناسب أن السلسلة الزمنية تتمتع بخاصية الاستقرار والسكون STATIONARITY ، ويمكن من خلال رسم نقاط انتشار السلسلة الزمنية الحكم على استقرار أو عدم استقرار السلسلة . كما يرجع عدم الاستقرار لأحد الأسباب التالية :

١-وجود اتجاه عام . ٢ - وجود تقلبات موسمية. ٣ - عدم استقرار التباين .  
إذا تحصر الخطوة الأولى في تمهيد السلسلة الزمنية وجعلها مستقرة لتحتل بالصفات التالية :

$$\mu = E(Y_t); t = 1..T \quad \text{القيمة المتوقعة للسلسلة ثابتة}$$

التباين ثابت  $\sigma^2 = VAR(Y_t); t = 1..T$  أي أن التباين ثابت والسلسلة  $\sigma$   
 حول القيمة المتوقعة

$\rho_s = \frac{COV(Y_t, Y_{t+s})}{\sigma^2} = (Y_t, Y_{t+s})$  التغير ثابت  
( $s$  ) ، وتقيس العلاقة بين القيم في فترات زمنية متعددة ذات فترات إبطاء (  $s$  )  
 ويسمى معامل التغير ( ١٥ )

اختبار سكون واستقرار السلسلة الزمنية :

تتوفر بعض المعايير الإحصائية التي تُستخدم في وصف نوعية السلسلة الزمنية موضوع البحث وبالتالي تسهيل نمذجتها ، تتمثل هذه المعايير في:

دالة الارتباط الذاتي ACF

$$\rho_k = \frac{\sum_{t=1}^T (y_t - \bar{y})(y_{t+k} - \bar{y})}{\sum_{t=1}^T (y_t - \bar{y})^2} \quad \text{ارتباط} \quad \text{، وتبين مدى} \quad \text{تعرف دالة الارتباط الذاتي عند الفجوة } k \text{ كما يلي:}$$

قيم السلسلة المتجاوزة حيث تتراوح قيمة معامل الارتباط الذاتي  $\rho$  بين -١ ، ١ ، في حالة استقرار السلسلة

أو مختلف عنه ( غير معنوا ) بالنسبة لأي فجوة  $k > 0$  مما يعني قبول فرضية انعدام معاملات الارتباط الذاتي . ( ١ ) تكون قيمة  $\rho = 0$

لإجراء اختبار لمعنى معاملات الارتباط الذاتي لكل قيمة على حده نستخدم الإحصائية التالية :

> إحصائية بارلات BARLETT. ( ١٠ )

$$\hat{\rho}_k \sim N\left(0, \frac{1}{T}\right)$$

$$\frac{\hat{\rho}_k}{\sqrt{\frac{1}{T}}} \sim N(0,1)$$

حيث أن معاملات الارتباط الذاتي لها توزيع طبيعي  $N$  بوسط حسابي  $(0, T/1)$  وترمز  $T$  إلى عدد المشاهدات للمتغير موضوع البحث . فإذا أردنا أن نقارن القيمة المحتسبة الجدولية لقانون التوزيع الطبيعي المعياري عند درجة ثقة معينة (مثلاً ٩٥%) ، فإذا كانت القيمة المحتسبة أصغر من القيمة الجدولية فإننا سنقبل فرضية العدم (بان معامل بارلات بدرجة إبطاء  $k$  يساوي ٠ والعكس يختلف جوهرياً عن ٠).

لإجراء اختبار لمعنى معاملات الارتباط الذاتي لكل نستخدم أحد الإحصائيات التالية :

-إحصائية PIERCE & BOX ( ١٤ )

$$Q = T \sum_{k=1}^K \hat{\rho}_k^2 \sim \chi^2(K)$$

، حيث أن  $(Q)$  لها توزيع مربع كاي بدرجات حرية تساوي  $(k)$  -إحصائية LJUNG-BOX ، وهي تعطي نتائج أفضل ( ١٣ )

$$Q = T(T+2) \sum_{k=1}^K \frac{1}{T-k} \hat{\rho}_k^2 \sim \chi^2(K)$$

، ويسمى اختبار (( PORTMANTEAU ))

وبصفة عامة دالة الارتباط الذاتي ( ACF ) بلفعلها للسلسل المستقرة لها شكل خاص ، حيث تتنازل كلما زادت درجات الإبطاء كما أن دالة الارتباط الذاتي للسلسلة المستقرة تتنازل بسرعة وتكون قريبة من الصفر.

٢- دالة الارتباط الذاتي الجزئي ( PACF )

تقيس دالة الارتباط الذاتي الجزئي الأثر الجزئي لإضافة القيم الـ متاخرة لمتغير ما ، ويمكن الحصول على معاملات (PACF) من معادلة الانحدار الذاتي للسلسلة هناك ثلاثة مقاييس تستخدم لاختيار أفضل نموذج

١- متوسط الخطأ النسبي المطلق (MAPE) أو (Mean Absolute Percentage Error ) ويعطى بالعلاقة

$$MAPE = \frac{\sum_{t=1}^n \left| \frac{z_t - \hat{z}_t}{z_t} \right|}{n} \times 100, \quad z_t \neq 0$$

٢- متوسط الانحراف المطلق (MAD) أو (Mean Absolute Deviation) ويعطى بالعلاقة

$$MAD = \frac{\sum_{t=1}^n |z_t - \hat{z}_t|}{n}$$

٣- متوسط الانحراف المربع (أو متوسط الخطأ المربع) (MSD) أو (MSE) ويعطى بالعلاقة

$$MSD = \frac{\sum_{t=1}^n (z_t - \hat{z}_t)^2}{n}$$

باختيار أحد هذه المقاييس نختار النموذج الذي يعطي أقل قيمة لهذا المقياس، المقياس الأكثر استخداماً وشيوعاً هو MSE أو MSD (٩)

$V(r_k) \cong \frac{1}{n}, \quad k > 0$  وفي الحالة الخاصة عندما  $\rho_k = 0, \quad k > 0$  فإن

لقيم  $n$  الكبيرة و  $\rho_k = 0$  يكون لها توزيع طبيعي وبالتالي نستطيع القيام بالاختبار التالي:

$$H_0 : \rho_k = 0$$

$$H_1 : \rho_k \neq 0$$

وذلك باستخدام الإحصائية

$$\frac{|r_k|}{n^{-\frac{1}{2}}} = \sqrt{n} |r_k|$$

وذلك عند مستوى معنوية  $\alpha = 0.05$  إذا كانت  $\sqrt{n} |r_k| > 1.96$  رفض  $H_0$  (التوزيع الطبيعي القياسي)

تحت الفرضية  $: corr(r_k, r_{k-s}) \cong 0, s \neq 0$  فإن  $H_0 : \rho_k = 0, \forall k$

نماذج الانحدار الذاتي\_المتوسط المتحرك Autoregressive-Moving Average Models واستخداماتها في التنبؤ:

هناك عائلة كبيرة من النماذج التي يطلق عليها نماذج الانحدار الذاتي \_المتوسط المتحرك Autoregressive–Moving Average Models والتي أثبتت الأبحاث الكثيرة في مختلف الميدانين

التطبيقية على تفوقها الهائل على الطرق التقليدية في التنبؤ. ( ٢ )

تعريف: نموذج الانحدار الذاتي \_المتوسط المتحرك من الدرجة  $(p,q)$  ويرمز له  $ARMA(p,q)$

لمتسلسلة زمنية مشاهدة  $\{z_1, z_2, \dots, z_{n-1}, z_n\}$  يكتب على الشكل:

$$z_t = \delta + \phi_1 z_{t-1} + \phi_2 z_{t-2} + \dots + \phi_p z_{t-p} + a_t - \theta_1 a_{t-1} - \theta_2 a_{t-2} - \dots - \theta_q a_{t-q}$$

حيث  $a_t \sim WN(0, \sigma^2)$  متسلسلة ضجة بيضاء و  $\delta < \infty$  معلم ثابت يمثل المستوى و

$\phi_1, \phi_2, \dots, \phi_p$  هي معالم الانحدار الذاتي Autoregressive Parameters و  $\theta_1, \theta_2, \dots, \theta_q$  هي

Moving Average Operators

تعريف : عامل الإزاحة الخلفي (Backshift Operator) ويرمز له  $(B)$  (وله الخواص التالية:

$$1 - B z_t = z_{t-1}$$

$$2 - B^m z_t = B^{m-1} (B z_t) = B^{m-2} (B (B z_t)) = \dots = z_{t-m}$$

$$3 - Bc = c, \quad c \text{ is a constant}$$

تعريف:

١ - عامل الإزاحة الأمامي (Forwardshift Operator) ويرمز له  $(F)$  ويعرف كالتالي:

$$F = B^{-1}$$

٢ - عامل التفريق Difference Operator ويرمز له  $\nabla$  ويعرف كالتالي:

٣ - عامل التجميع Sum Operator ويرمز له  $S$  ويعرف كالتالي:

خصائص نماذج الانحدار الذاتي \_المتوسط المتحرك

أولا: نموذج المتوسط الثابت  $ARMA(0,0)$ : ويكتب على الشكل التالي :

$$\phi_0(B) z_t = \delta + \theta_0(B) a_t$$

$$z_t = \delta + a_t, \quad a_t \sim WN(0, \sigma^2)$$

$$\gamma_0 = \sigma^2$$

$$\gamma_k = 0, \quad k = \pm 1, \pm 2, \dots$$

وبالقسمة على  $\gamma_0 = \sigma^2$  نجد إن  $\gamma_k = \begin{cases} \sigma^2, & k=0 \\ 0, & k \neq 0 \end{cases}$  وتوسيع على شكل دالي :

$$\rho_k = \frac{\gamma_k}{\gamma_0} = \begin{cases} 1, & k=0 \\ 0, & k \neq 0 \end{cases}$$

$\phi_{00} = 1$ , by definition

$\phi_{11} = \rho_1$ , by definition

$\phi_{11} = 0$

$$\phi_{22} = \frac{\begin{vmatrix} 1 & \rho_1 \\ \rho_1 & \rho_2 \end{vmatrix}}{\begin{vmatrix} 1 & \rho_1 \\ \rho_1 & 1 \end{vmatrix}} = \frac{\begin{vmatrix} 1 & 0 \\ 0 & 0 \end{vmatrix}}{\begin{vmatrix} 1 & 0 \\ 0 & 1 \end{vmatrix}} = 0$$

$$\phi_{kk} = \begin{cases} 1, & k=0 \\ 0, & k \neq 0 \end{cases}$$

ثانياً: نموذج الانحدار الذاتي من الدرجة الأولى (AR(1)) وهو على الشكل:

$$\phi_1(B)z_t = \delta + \theta_0(B)a_t$$

$$(1 - \phi_1 B)z_t = \delta + a_t$$

$$z_t = \delta + \phi_1 z_{t-1} + a_t, \quad a_t \sim WN(\theta, \sigma^2)$$

$$1 - \phi_1 B = 0$$

$$B = \frac{1}{\phi_1}$$

$$|B| > 1 \Rightarrow \left| \frac{1}{\phi_1} \right| > 1 \Rightarrow |\phi_1| < 1$$

$\phi_{00} = 1$ , by definition

وهذا هو شرط الاستقرار.

$\phi_{11} = \rho_1 = \phi_1$ , by definition

$$\phi_{22} = \frac{\begin{vmatrix} 1 & \rho_1 \\ \rho_1 & \rho_2 \end{vmatrix}}{\begin{vmatrix} 1 & \rho_1 \\ \rho_1 & 1 \end{vmatrix}} = \frac{\begin{vmatrix} 1 & \phi_1 \\ \phi_1 & \phi_1^2 \end{vmatrix}}{\begin{vmatrix} 1 & \phi_1 \\ \phi_1 & 1 \end{vmatrix}} = \frac{0}{1 - \phi_1^2} = 0$$

:

محددة البسط تساوي صفرًا لأن العاوم الأول يساوي العاوم الأول مضروبا في  $\phi_1$  ونكتب دالة الترابط الذاتي الجزئي على الشكل التالي:

$$\phi_{kk} = \begin{cases} 1, & k=0 \\ \phi_1, & k=1 \\ 0, & k \geq 2 \end{cases}$$

مناقشة النموذج:

عندما تكون  $|\phi_1| < 1$  (شرط الاستقرار) فإن  $E(z_t) = \delta / (1 - \phi_1)$  وهو ثابت لجميع قيم  $t$  دالة الترابط الذاتي دالة للتخلق  $k$  فقط ولا تعتمد على الزمن  $t$  دالة الترابط الذاتي تتحامد أسيًا في اتجاه واحد إبتداءً من  $\rho_1$  عندما تكون  $|\phi_1| > 0$  وتتحامد أسيًا متربدة بين القيم الموجبة والسالبة عندما تكون  $|\phi_1| < 0$  دالة الترابط الذاتي لها قيمة واحدة غير صفرية (مع عدم النظر إلى  $\phi_{00}$ ) ويكون اتجاهها حسب إشارة  $\phi_1$  ومقدارها يساوي  $|\phi_1|$  (١) ثالثًا: نموذج الانحدار الذاتي من الدرجة الثانية (2) :

ويكتب على الشكل:

$$\phi_2(B)z_t = \delta + \theta_0(B)a_t$$

$$(1 - \phi_1 B + \phi_2 B^2)z_t = \delta + a_t$$

$$z_t = \delta + \phi_1 z_{t-1} + \phi_2 z_{t-2} + a_t, \quad a_t \perp\!\!\!\perp WN(0, \sigma^2)$$

$$(1 - \phi_1 B - \phi_2 B^2)z_t = \delta + a_t$$

$$z_t = \frac{\delta}{(1 - \phi_1 - \phi_2)} + (1 - \phi_1 B - \phi_2 B^2)^{-1} a_t$$

$$E(z_t) = \frac{\delta}{(1 - \phi_1 - \phi_2)} + E[(1 - \phi_1 B - \phi_2 B^2)^{-1} a_t]$$

ولكي ندخل التوقع  $E\left(\sum_{j=0}^{\infty} \psi_j a_{t-j}\right)$  الحد الثاني في الطرف الأيمن مجموع لانهائي على الشكل  $\sum_{j=0}^{\infty} \psi_j a_{t-j}$  داخل التجميع اللانهائي لابد أن تكون متقاربة في المتوسط المربع وهذا يتحقق إذا وفقط  $\sum_{j=0}^{\infty} \psi_j^2 < \infty$  إذا كان وهذا يتحقق إذا حققت معالم الانحدار الذاتي الشروط التالية:

$$\phi_2 - \phi_1 < 1$$

$$\phi_2 + \phi_1 < 1$$

$$-1 < \phi_2 < 1$$

والتي تسمى بشرط الاستقرار ( هذه الشروط تنتج أيضا من كون جذور أو أصفار

$$(1 - \phi_1 B - \phi_2 B^2) = 0 \quad \text{خارج دائرة الوحدة} . \quad \text{إذا تحققت شروط الاستقرار فإن}$$

$$E\left[\left(1 - \phi_1 B - \phi_2 B^2\right)^{-1} a_t\right] = \left[\left(1 - \phi_1 B - \phi_2 B^2\right)^{-1} E(a_t)\right] = 0, \forall t$$

$$\mu = E(z_t) = \frac{\delta}{(1 - \phi_1 - \phi_2)}$$

$$\delta = (1 - \phi_1 - \phi_2) \mu$$

$$\phi_{22} = \frac{\begin{vmatrix} 1 & \rho_1 \\ \rho_1 & \rho_2 \end{vmatrix}}{\begin{vmatrix} 1 & \rho_1 \\ \rho_1 & 1 \end{vmatrix}} = \frac{\rho_2 - \rho_1^2}{1 - \rho_1^2} \neq 0$$

و

وذلك أيضا لنفس السبب السابق .

رابعا: نموذج المتوسط المتحرك من الدرجة الأولى  $\text{ARMA}(0,1) = \text{MA}(1)$

$$\phi_0(B)z_t = \delta + \theta_1(B)a_t$$

$$z_t = \delta + (1 - \theta_1 B)a_t$$

$$z_t = \delta + a_t - \theta_1 a_{t-1}, \quad a_t \perp WN(\theta, \sigma^2)$$

$$\phi_{00} = 1, \text{ by definition}$$

$$\phi_{11} = \rho_1, \text{ by definition}$$

وشكل عام

$$\phi_{kk} = \frac{-\theta_1^k (1 - \theta_1^2)}{1 - \theta_1^{2(k+1)}}, \quad k > 0$$

خامساً: نموذج المتوسط المتحرك من الدرجة الثانية : ARMA(0,2) = MA(2)

وتكتب على الشكل التالي :

$$\begin{aligned}\phi_0(B)z_t &= \delta + \theta_2(B)a_t \\ z_t &= \delta + (1 - \theta_1 B - \theta_2 B^2)a_t \\ z_t &= \delta + a_t - \theta_1 a_{t-1} - \theta_2 a_{t-2}, \quad a_t \sim WN(\theta, \sigma^2) \\ \rho_k &= \begin{cases} 1, & k = 0 \\ \frac{-\theta_1 + \theta_1 \theta_2}{1 + \theta_1^2 + \theta_2^2}, & k = 1 \\ \frac{-\theta_2}{1 + \theta_1^2 + \theta_2^2}, & k = 2 \\ 0, & k > 2 \end{cases}\end{aligned}$$

سادساً: نموذج المتوسط المتحرك-الإنحدار الذاتي من الدرجة (1,1) : ARMA(1,1)

$$\begin{aligned}\phi_1(B)z_t &= \delta + \theta_1(B)a_t \\ (1 - \phi_1 B)z_t &= \delta + (1 - \theta_1 B)a_t \\ z_t - \phi_1 z_{t-1} &= \delta + a_t - \theta_1 a_{t-1} \\ z_t &= \delta + \phi_1 z_{t-1} + a_t - \theta_1 a_{t-1}, \quad a_t \sim WN(\theta, \sigma^2), \quad \phi_1 \neq \theta_1 \\ \delta &= \mu(1 - \phi_1) \quad E(z_t) = \mu = \frac{\delta}{1 - \phi_1} \quad \text{أو} \quad |\phi_1| < 1 \quad \text{شرط الاستقرار} \quad \text{شرط الانقلاب}\end{aligned}$$

نلاحظ أن دالة الترابط الذاتي لنموذج ARMA(1,1) تتحامد أسيّا في اتجاه واحد أو متعدد بين القيم الموجبة والسالبة وهي في هذا تشبه تماماً دالة الترابط الذاتي لنموذج AR(1) ماعدا إن التحامد يبدأ من  $\rho_1$

: خواص نماذج ARMA(p,q)

١- دالة ترابط ذاتي تمتد لانهائيا و تتكون من خليط من التخدمات الآسية والتخدمات الجيبية.

٢- دالة ترابط ذاتي جزئي تتكون من أصفار لقيم التخلفات  $k > p$  أي

$$\phi_{11} = \phi_{22} = \phi_{33} = \dots = \phi_{pp} \neq 0$$

$$\phi_{p+1,p+1} = \phi_{p+2,p+2} = \dots = 0$$

ويسمى هذا قطعا في دالة الترابط الذاتي الجزئي بعد التخلف  $p < k$

ثانيا : نموذج (MA(q))

ويتميز وبالتالي:

١- دالة ترابط ذاتي تتكون من أصفار لقيم التخلفات  $q > k$  أي

$$\rho_1 = \rho_2 = \rho_3 = \dots = \rho_q \neq 0$$

$$\rho_{q+1,q+1} = \rho_{q+2,q+2} = \dots = 0$$

ويسمى هذا قطعا في دالة الترابط الذاتي بعد التخلف  $q < k$ .

٢- دالة ترابط ذاتي جزئي تمتد لانهائيا و تتكون من خليط من التخدمات الآسية والتخدمات الجيبية.

لاحظ الازدواجية Duality بين نموذجي AR و MA (١١)

ثالثا: النموذج المختلط ARMA(p,q)

ويتميز وبالتالي:

دوال الترابط الذاتي والترابط الذاتي الجزئي للنموذج المختلط تمتد لانهائيا و تتكون من خليط من التخدمات الآسية والتخدمات الجيبية التي تنتهي إلى الصفر كلما زاد التخلف  $k$ . عندما تكون  $k > p - q$  فإن دالة الترابط الذاتي تتحدد من جزء الانحدار الذاتي للنموذج و عندما تكون  $p - q < k$  فإن دالة الترابط الذاتي الجزئي تتحدد من جزء المتوسط المتحرك للنموذج.

### الفصل الثالث

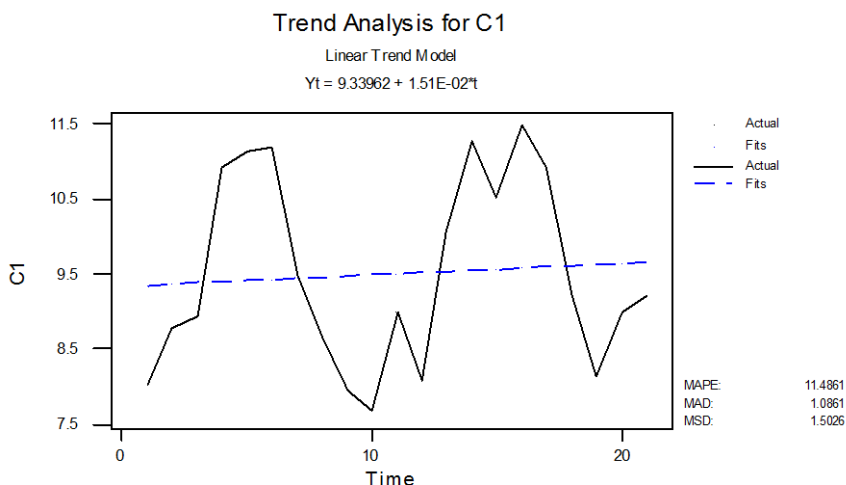
#### الجانب التطبيقي:

تم الحصول على بيانات البطالة في مصر من الموقع الإلكتروني لصندوق النقد الدولي للفترة من

(٨) ٢٠١٩٩٠ (٨)

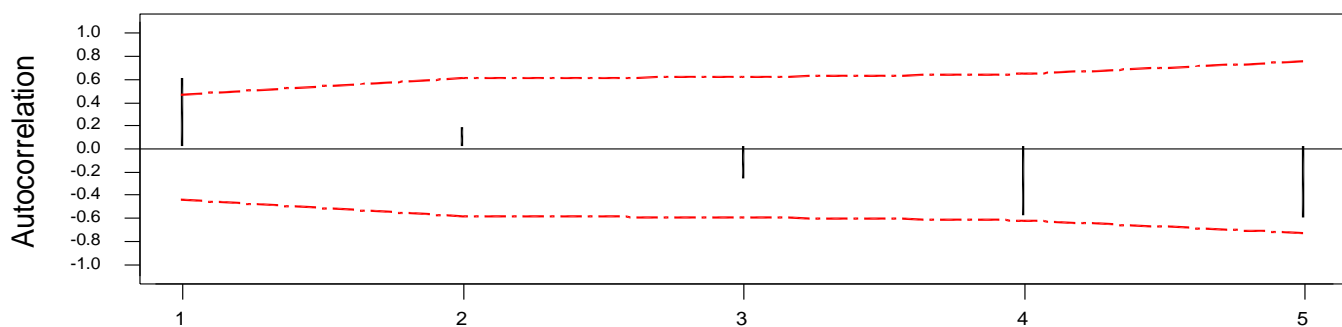
الشكل رقم (١) يوضح السلسلة الزمنية وقد لوحظ فيها اتجاه خطى

شكل رقم (١) : يمثل بيانات السلسلة الزمنية



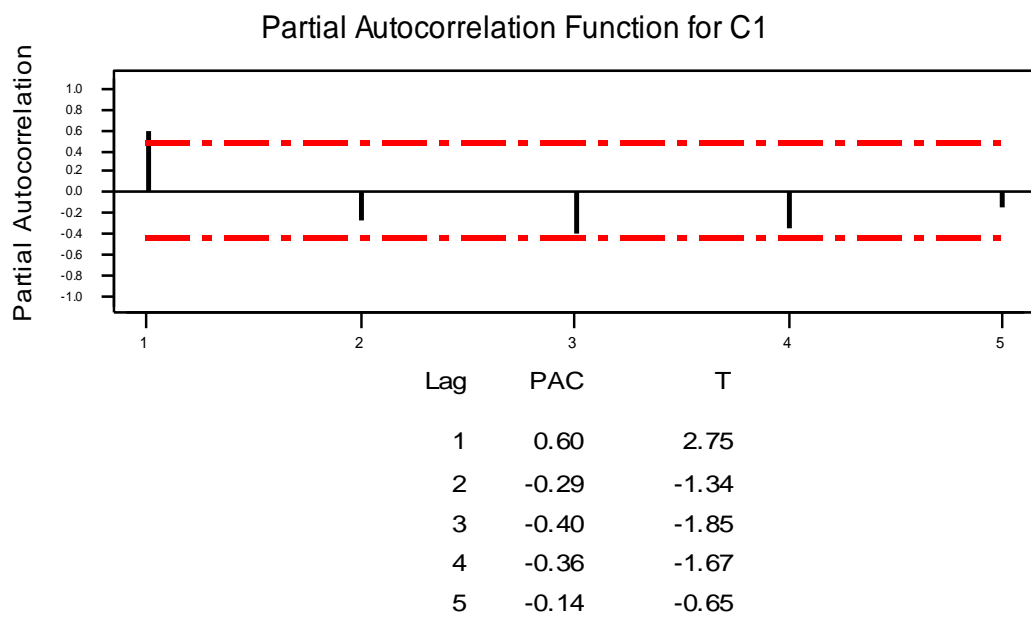
للتأكد من استقرارية السلسلة الزمنية تم إيجاد الارتباط الذاتي (Autocorrelation Function) والارتباط الذاتي الجزئي (Partial Autocorrelation Function) بواسطة احد البرامج الإحصائية (SPSS) (١٢) .  
 شكل رقم (٢) : يمثل الارتباط الذاتي للسلسلة

Autocorrelation Function for C1



Lag	Corr	T	LBQ
1	0.60	2.75	8.68
2	0.17	0.60	9.42
3	-0.28	-0.96	11.52
4	-0.60	-1.98	21.78
5	-0.62	-1.74	33.39

شكل رقم (٣) : يمثل الارتباط الذاتي الجزئي للسلسلة



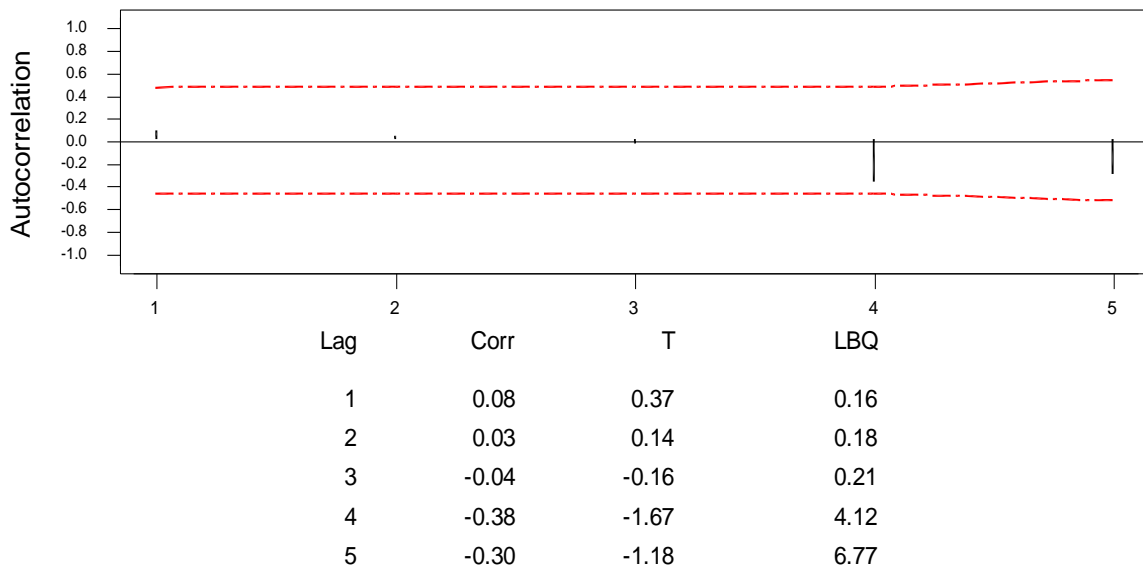
وقد تم ملاحظة إن قيمة معامل الارتباط الذاتي تتراوح بين (-١ و +١) فعند درجة إبطاء واحد كانت قيمة معامل الارتباط الذاتي (٠.٦٠) وعند درجتين إبطاء كانت (٠.١٧) وهذه بعيدة عن الصفر وللتتأكد من عدم استقرار السلسلة الزمنية نستخدم أحد الاختبارات الإحصائية ( اختبار بارلات )

$$\frac{0.17}{\sqrt{\frac{1}{21}}} = 0.779$$

والقيمة الجدولية من جدول التوزيع الطبيعي القياسي ١.٩ وبدرجة ثقة (٩٥%) هي (٤.٠٠٤٧٤) وبما إن القيمة المحسوبة أكبر من القيمة الجدولية وبذلك نرفض فرضية عدم درجتي الإبطاء وهذا يعني عدم استقرار السلسلة الزمنية

شكل رقم ( ٤ ) : يمثل الارتباط الذاتي للسلسلة بعد اخذ الفرق الأول

### Autocorrelation Function for C2



تم إيجاد الفرق الأول للسلسلة :

$$W_t = Z_t - Z_{t-1}$$

ثم نجد الارتباط الذاتي (Partial Autocorrelation Function) والارتباط الذاتي الجزئي (Autocorrelation Function )

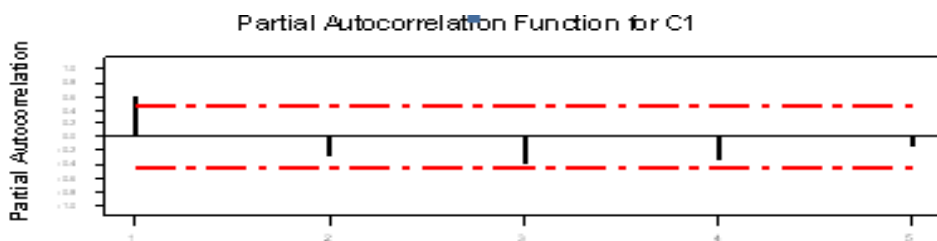
نلاحظ من شكل السلسلة والترابط الذاتي والترابط الذات-ي الجزئي أصبحت السلسلة مستقرة في الفرق الأول (d=1) .

وللتتأكد من استقرارية السلسلة نستخدم اختبار ( بارلات ) عند درجة ابطاء واحدة وتكون القيمة المحتسبة

$$\frac{0.08}{\sqrt{\frac{1}{20}}} = 0.3577$$

نلاحظ ان القيمة المحتسبة اصغر من القيمة الجدولية وبهذا نقبل فرضية انعدام المعاملات عند درجة ابطاء واحدة وهذا يعني استقرار السلسلة عند هذه الدرجة

شكل رقم ( ٥ ) : يمثل الأرتباط الجزئي للسلسلة بعد اخذ الفرق الأول



ولتقدير أفضل نموذج (ARIMA)) تم حساب النماذج المدرجة في أدناه وقد وجد أفضل نموذج يمثل  
السلسلة هو ( ARIMA ( 1,1,2 ) ) حيث إن جميع مؤشرات النموذج مقبولة حيث إن  
( P-Value = 0.035 ) وان النموذج معنوي = 1.2268

$$Z_t = 0.01391 + 0.4904 Z_{t-1} + a_t + 0.6317 a_{t-1} + 0.2762 a_{t-2} \\ \text{at } \square \text{WN}(0,1.2268)$$

Type	Coef	SE Coef	T	P
AR 1	0.4904	0.5038	0.97	0.345
MA 1	0.6317	0.6281	1.01	0.329
MA 2	0.2762	0.3286	0.84	0.413
Constant	0.01391	0.05608	0.25	0.807

Differencing: 1 regular difference

Number of observations: Original series 21, after differencing 20

Residuals: SS = 19.6290 (backforecasts excluded)

$$\text{MS} = 1.2268 \text{ DF} = 16$$

Modified Box-Pierce (Ljung-Box) Chi-Square statistic

Lag	12	24	36	48
Chi-Square	16.6	*	*	*
DF	8	*	*	*
P-Value	0.035	*	*	*

## جدول رقم (١) يوضح القيم التنبؤية للفترة من ٢٠١١

Period	Forecast	Lower	Upper	T
22	9.3391	7.1677	11.5105	2011
23	9.4864	6.6243	12.3484	2012
24	9.5725	6.5011	12.6439	2013
25	9.6286	6.4678	12.7894	2014
26	9.6701	6.4590	12.8812	2015
27	9.7043	6.4579	12.9508	2016
28	9.7350	6.4596	13.0104	2017

وكان النموذج معنوي MS = 0.68299 حيث إن ARIMA (1, 1, 4) و (P-Value = 0.034)

$$Z_t = 0.3753 + 0.2575 Z_{t-1} + a_t + 0.2713 a_{t-1} + 0.0538 a_{t-2} - 0.3146 a_{t-3} + 0.814 a_{t-4} + \text{WN}(0, 0.68299)$$

Type	Coef	SE Coef	T	P
AR 1	0.2575	0.4066	0.63	0.537
MA 1	0.2713	0.5240	0.52	0.613
MA 2	0.0538	0.2917	0.18	0.856
MA 3	-0.3146	0.2647	-1.19	0.254
MA 4	0.8140	0.3526	2.31	0.037
Constant	0.03753	0.08468	0.44	0.664

Differencing: 1 regular difference

Number of observations: Original series 21, after differencing 20

Residuals: SS = 9.56180 (backforecasts excluded)

MS = 0.68299 DF = 14

Modified Box-Pierce (Ljung-Box) Chi-Square statistic

Lag	12	24	36	48
Chi-Square	13.7	*	*	*
DF	6	*	*	*
P-Value	0.034	*	*	

جدول رقم (٢) يوضح القيم التنبؤية للفترة من ٢٠١١

Period	Forecast	Lower	Upper	T
22	9.6141	7.9940	11.2342	2011
23	10.7574	8.4819	13.0330	2012
24	10.6080	7.8798	13.3361	2013
25	10.4260	7.0488	13.8031	2014
26	10.4167	6.9468	13.8865	2015
27	10.4518	6.9475	13.9560	2016
28	10.4984	6.9702	14.0265	2017

جدول رقم (٣) يوضح تقدیرات نموذج (ARIMA)

	النموذج	MS	P
١	ARIMA(1. 1.0 )	1.275	.198
٢	ARIMA(2. 1.0 )	1.349	.104
٣	ARIMA(3. 1.0 )	1.430	.120
٤	ARIMA(1. 1.1)	1.349	.146
٥	ARIMA(2. 1.1 )	1.433	.106
٦	ARIMA(3. 1.1)	1.243	.054
٧	ARIMA (0. 1.1 )	1.275	.188
٨	ARIMA(0.1 .2)	1.346	.179
٩	ARIMA (0.1.3)	0.944	.432
١٠	ARIMA(1. 1.2 )	1.226	.035
١١	ARIMA(1. 1.3 )	0.924	.169
١٢	ARIMA(2.1.2 )	لايمكن تقدیره	
١٣	ARIMA(2.1.3 )	لايمكن تقدیره	
١٤	ARIMA(1. 1.4 )	0.707	.013
١٥	ARIMA(1.1.4 )	0.682	.034

جدول رقم (٤) : يمثل نموذج (ARIMA MODEL (1.1.0))

ARIMA Model: (1.1.0)

Final Estimates of Parameters

Type	Coef	SE Coef	T	P
AR 1	-0.4800	0.2141	-2.24	0.039
Constant	-0.0114	0.3167	-0.04	0.972

Differencing: 1 regular difference

Number of observations: Original series 20, after differencing 19

Residuals: SS = 32.3919 (backforecasts excluded)

$MS = 1.9054$   $DF = 17$

Modified Box-Pierce (Ljung-Box) Chi-Square statistic

Lag	12	24	36	48
Chi-Square	8.8	*	*	*
DF	10	*	*	*
P-Value	0.556	*	*	*

جدول رقم (٥) : يمثل نموذج (ARIMA MODEL (1.1.1))

ARIMA Model: (1.1.1)

Type	Coef	SE Coef	T	P
AR 1	0.0688	0.2949	0.23	0.819
MA 1	0.9286	0.2442	3.80	0.002
Constant	-0.02279	0.04827	-0.47	0.643

Differencing: 1 regular difference

Number of observations: Original series 20, after differencing 19

Residuals: SS = 24.4026 (backforecasts excluded)

$MS = 1.5252$   $DF = 16$

Modified Box-Pierce (Ljung-Box) Chi-Square statistic

Lag	12	24	36	48
Chi-Square	9.6	*	*	*
DF	9	*	*	*
P-Value	0.386	*	*	*

## جدول رقم (٦) : يمثل نموذج ARIMA MODEL (0.1.1)

ARIMA Model: (0.1.1)

## Final Estimates of Parameters

Type	Coef	SE Coef	T	P
MA 1	0.9268	0.1953	4.75	0.000
Constant	-0.02506	0.04623	-0.54	0.595

Differencing: 1 regular difference

Number of observations: Original series 20, after differencing 19

Residuals: SS = 24.5072 (backforecasts excluded)

MS = 1.4416 DF = 17

## Modified Box-Pierce (Ljung-Box) Chi-Square statistic

Lag	12	24	36	48
Chi-Square	10.7	*	*	*
DF	10	*	*	*
P-Value	0.381	*	*	

## جدول رقم (٧) : يمثل نموذج ARIMA MODEL (2.1.1)

ARIMA Model: (2.1.1)

Constant -0.03168 0.04719 -0.67 0.512

Differencing: 1 regular difference

Type	Coef	SE Coef	T	P
AR 1	0.0422	0.3159	0.13	0.895
AR 2	-0.0160	0.3201	-0.05	0.961
MA 1	0.9242	0.3081	3.00	0.009

Number of observations: Original series 20, after differencing 19

Residuals: SS = 24.1704 (backforecasts excluded)

$$MS = 1.6114 \quad DF = 15$$

## Modified Box-Pierce (Ljung-Box) Chi-Square statistic

Lag	12	24	36	48
Chi-Square	11.2	*	*	*
DF	8	*	*	*
P-Value	0.192	*	*	*

جدول رقم (٨) : يمثل نموذج ARIMA MODEL (2.1.0)

ARIMA Model: (2.1.0)

Type	Coef	SE Coef	T	P
AR 1	-0.6222	0.2371	-2.62	0.018
AR 2	-0.3385	0.2488	-1.36	0.192
Constant	-0.0641	0.3109	-0.21	0.839

Differencing: 1 regular difference

Number of observations: Original series 20, after differencing 19

Residuals: SS = 29.3326 (backforecasts excluded)

$$MS = 1.8333 \quad DF = 16$$

## Modified Box-Pierce (Ljung-Box) Chi-Square statistic

Lag	12	24	36	48
Chi-Square	10.8	*	*	*
DF	9	*	*	*
P-Value	0.289	*	*	*

## جدول رقم (٩) : يمثل نموذج ARIMA MODEL (3.1.0)

## Final Estimates of Parameters ARIMA Model: (3.1.0)

Type	Coef	SE Coef	T	P
AR 1	-0.6013	0.2616	-2.30	0.036
AR 2	-0.2931	0.3237	-0.91	0.379
AR 3	0.0732	0.2890	0.25	0.803
Constant	-0.0484	0.3231	-0.15	0.883

Differencing: 1 regular difference

Number of observations: Original series 20, after differencing 19

Residuals: SS = 29.1473 (backforecasts excluded)

MS = 1.9432 DF = 15

## Modified Box–Pierce (Ljung–Box) Chi–Square statistic

Lag	12	24	36	48
Chi-Square	10.6	*	*	*
DF	8	*	*	*
P-Value	0.223	*	*	*

## جدول رقم (١٠) : يمثل نموذج ARIMA MODEL (1.1.3)

## ARIMA Model: (1.1.3)

Type	Coef	SE Coef	T	P
AR 1	-0.5607	0.4050	-1.38	0.188
MA 1	0.1011	0.4682	0.22	0.832
MA 2	0.9029	0.2559	3.53	0.003
MA 3	-0.1500	0.4123	-0.36	0.721
Constant	-0.05997	0.05461	-1.10	0.291

Differencing: 1 regular difference

Number of observations: Original series 20, after differencing 19

Residuals: SS = 19.0712 (backforecasts excluded)

MS = 1.3622 DF = 14

Modified Box–Pierce (Ljung–Box) Chi–Square statistic

Lag	12	24	36	48
Chi-Square	14.2	*	*	*
DF	7	*	*	*
P-Value	0.048	*	*	*

#### اختبار النموذج المقترن

تم اختبار متوسط الباقي بموجب الفرضية الإحصائية التالية:  $H_0: \mu=0$  .

وقد إن الاختبار غير معنوي أي يمكن اعتبار متوسط الباقي يساوي صفر وكما مبين في الجدول

رقم ( ٩ )

#### جدول رقم ( ١١ ) : يمثل اختبار متوسط الباقي

##### One-Sample T: C2

Variable	N	Mean	StDev	SE Mean	95.0% CI
C2	20	0.058	1.103	0.247	( -0.458; 0.574)

##### One-Sample T: C2

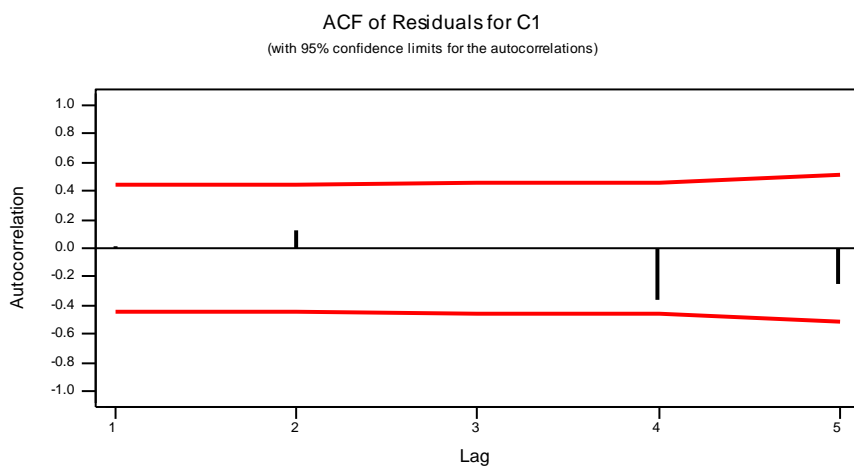
Test of mu = 0.058 vs mu not = 0.058

Variable	N	Mean	StDev	SE Mean
C2	20	0.058	1.103	0.247

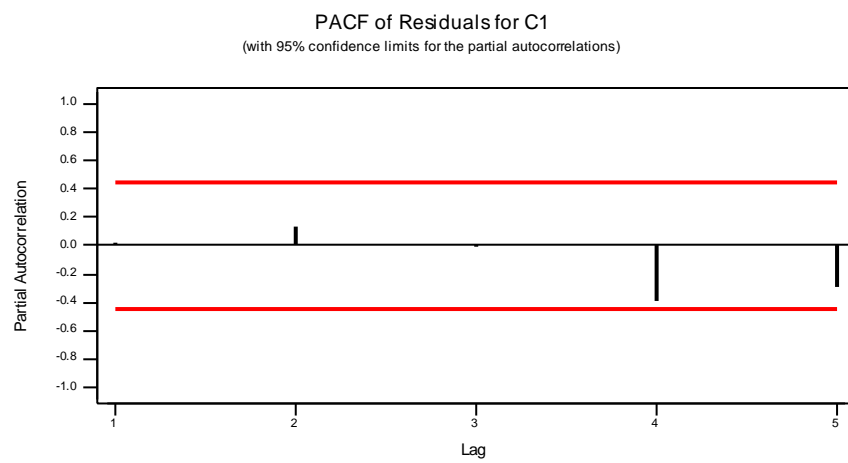
Variable	95.0% CI	T	P
C2	( -0.458; 0.574)	0.00	1.000

كما تم رسم الباقي لاختبار الترابط الذاتي:  
نلاحظ عدم وجود ترابط ذاتي وكما مبين في الشكل رقم ( ٦ )

شكل رقم ( ٦ ) : يمثل الارتباط للباقي

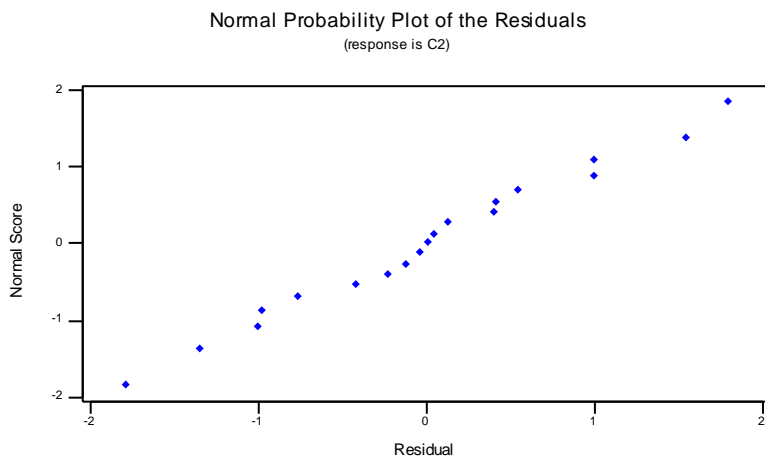


شكل رقم ( ٧ ) : يمثل الأرتباط الجزئي للباقي

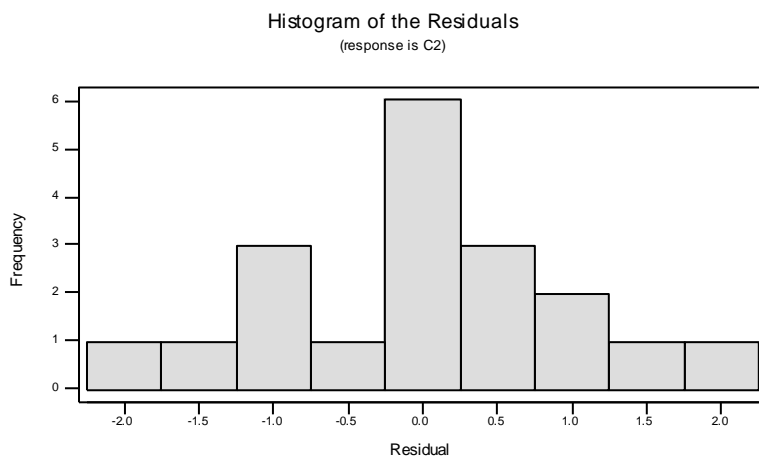


وذلك تم اختبار طبيعة الباقي بواسطة الرسم المبين في أدناه وقد وجد انه مناسب

شكل رقم (٨) : يمثل للبواقي



وكلذلك تم رسم البواقي بموجي الشكل المرقم (٩) ونلاحظ أنها تتوزع توزيع طبيعي



### الاستنتاجات والتوصيات

- إن السلسلة الزمنية غير مستقرة كما مبين في الشكل رقم (١) وقد تأكّد من عدم استقرارها دالة الارتباط الذاتي والارتباط الذاتي الجزئي وكذلك من اختبار (بارلات) حيث إن القيمة المحسوبة عند درجتي إبطاء (٠.٧٧٩) وهي أكبر من القيمة الجدولية (٠٠٤٧٤) من جدول التوزيع الطبيعي المعياري (١.٩) ودرجة ثقة .٩٥٪.
- تم اخذ الفرق الأول للسلسلة ومن خلال درجة إبطاء واحدة وجد أن قيمة (بارلات) تساوي (٣٥٧٧) وهي أقل من القيمة الجدولية وهذا يدل على استقرار السلسلة الزمنية ويلاحظ ذلك من خلال الشكل (٣) و(٤).

- ٣-يعتبر النموذج ( 1.1.2 ) هو أفضل نموذج يمثل السلسلة وذلك من خلال المؤشرات الإحصائية المبينة في الجدول رقم ( ٣ ) حيث يمتلك أقل (  $MSE = 1.2268$  ) وكذلك من خلال ملاحظة قيمة (  $P - value$  ) للنموذج .
- ٤-وذلك النموذج ( 1.1.4 ) ARIMA يمتلك أفضل (  $MSE = 0.68299$  ) و إن النموذج معنوي من خلال قيمة (  $P - value = 0.034$  )
- ٤ ان هناك زيادة مستمرة في البطالة من خلال ملاحظة القيم التنبؤية المبينة في الجدول المرقم ( ١ ) والجدول رقم ( ٢ )

## المصادر

- ١- والتـر فـانـدـل ، ( ١٩٩٢ ) ، السـلاـسـلـ الزـمـنـيـةـ منـ الـوـجـهـ التـطـبـيـقـيـ ، دـارـ المـرـيـخـ لـلـنـشـرـ ، الـرـيـاضـ ، السـعـودـيـةـ
- ٢- شـاعـ لـلـنـشـرـ وـالـعـلـومـ ، لـجـنـةـ التـأـلـيفـ وـالـتـرـجـمـةـ ، الإـحـصـاءـ بـاـسـتـخـدـامـ SPSSـ ، الطـبـعـةـ الـأـولـىـ ، ٢٠٠٧ـ.
- ٣- عـدـنـانـ عـابـسـ حـمـيدـانـ وـآخـرـونـ ( ٢٠٠٦ ) الإـحـصـاءـ التـطـبـيـقـيـ مـنـشـورـاتـ جـامـعـةـ دـمـشـقـ - كـلـيـةـ الـاقـضـادـ.
- ٤- الجـهـازـ المـرـكـزـيـ لـلـتـعـبـةـ وـالـإـحـصـاءـ المـصـرـيـ .WWW.Capmas.gov.eg
- ٥- دـكـتـورـ حـسـينـ شـحـاتـةـ - مشـكـلةـ الـبـطـالـةـ فـيـ مـصـرـ بـيـنـ الـوـاجـبـ وـالـوـاقـعـ ( ٢٠٠٧ )
- ٦- مـوـقـعـ خـيـرـ اـونـ لـاـيـنـ .WWW.khieronline.com
- ٧- جـريـدةـ الـوـطـنـ الـكـويـتـيـةـ ( ٢٠٠٧ ) WWW.khieronline.com
- ٨- صـنـدـوقـ النـقـدـ الدـولـيـ WWW.imf.org/external/arabic/index.htm

### المصادر الأجنبية :

- 9-Abraham, B. and Ledotter, J. (1983). Statistical Methods for Forecasting, John Wiley, New York .
- 10-Howell Tong . (1996) . Non – Linear Time series , dynamical System Approach, University of Kent at Canterbury
- 11-Makridakis, S., Wheelwright, S. C. and McGee, V. E. (1983). Forecasting Methods and Applications, 2nd ed., John Wiley, New York. .
- 12-Minitab Reference Manual, Release 11 for Window
- 13-Reinsert , G. (2002). Time series. Hilary Term, USA.
- 14-Shumway, R. H. (1988). Applied Statistical Time Series Analysis, Prentice-Hall, New York. .
- 15-Wei, W. W. S. (1990). Time Series Analysis Univariate and Multivariate Methods, Addison Wesley. .